

## АДИАБАТИЧЕСКОЕ ПРИБЛИЖЕНИЕ В ЗАДАЧЕ О ЗАХВАТЕ В РЕЗОНАНС

Л.А. КАЛЯКИН

**Аннотация.** Две модельные задачи о захвате в резонанс анализируются методом усреднения, который приводит к адиабатическому приближению в главном члене асимптотики. Основной целью является приближенное (с использованием малого параметра) описание области захвата в резонанс. Эта область на фазовой плоскости состоит из точек, из которых стартуют резонансные решения с неограниченно растущей энергией. Область захвата зависит от дополнительного параметра, входящего в уравнения. Демонстрируется непригодность адиабатического приближения, когда область захвата становится узкой. В этом случае требуется значительное изменение метода усреднения. В результате для главного члена асимптотики возникает система нелинейных дифференциальных уравнений, которая не всегда оказывается интегрируемой.

**Ключевые слова:** нелинейные колебания, малый параметр, асимптотика, захват в резонанс, адиабатическое приближение.

**Mathematics Subject Classification:** 34D10, 34D20, 37J25, 34E13

### 1. ВВЕДЕНИЕ

Мнение об исключительной эффективности математических методов в научных исследованиях считается общепризнанным и создает впечатление о всеисильности математики. Широкое использование компьютеров способствует распространению этого мифа. Между тем в прикладных исследованиях часто обнаруживается ограниченность математического подхода. Возникающие проблемы обычно объясняются недостатками в используемых моделях: либо излишней сложностью, либо чрезмерной упрощенностью. Эффективность математики в приложениях во многом держится на искусстве упрощения сложных моделей до приемлимого уровня. Наиболее отчетливо это проявляется в задачах, которые ставятся в форме дифференциальных уравнений. Сложные исходные уравнения подменяются уравнениями, более простыми и доступными для аналитического и численного анализа. Аккуратное математическое оформление упрощений выполняется с привлечением понятия асимптотического приближения [1, 2]. Такой подход не всегда бывает простым. Трудности, которые приходится преодолевать, связаны с неравномерностью асимптотик [3]. Предъявляемые асимптотические формулы иногда оказываются не пригодны в той или иной области. Например, в банальном примере  $\exp(-x/\varepsilon)$  асимптотическая аппроксимация  $\exp(-x/\varepsilon) \approx 0$  при  $\varepsilon \rightarrow 0$  заведомо не пригодна в секторе  $x/\varepsilon \leq 1$ . Неравномерности в асимптотических разложениях обнаруживаются для функций нескольких переменных и обычно указывает на наличие существенно особых точек.

---

L. A. KALYAKIN, ADIABATIC APPROXIMATION IN A RESONANCE CAPTURE PROBLEM.

© Калякин Л.А. 2017.

ИССЛЕДОВАНИЕ ВЫПОЛНЕНО ЗА СЧЕТ ГРАНТА РОССИЙСКОГО НАУЧНОГО ФОНДА (ПРОЕКТ №17-11-01004).

Поступила 2 апреля 2017 г.

При исследовании решений дифференциальных уравнений широко практикуются разложения по малому параметру. Поскольку решение помимо параметра содержит зависимость, как минимум, от еще одной (независимой) переменной, то в таких задачах часто приходится сталкиваться с проблемой неравномерности разложений. Для построения равномерно пригодных асимптотических решений разработаны разные методы, основанные на идее многих масштабов [3]–[5]. При этом большинство исследователей предпочитают иметь дело с разложением по одному (скалярному) параметру. Наличие большего числа независимых параметров приводит к дополнительным проблемам с равномерностью, которые редко обсуждаются. Между тем это направление исследований интересно для приложений и содержит новые математические проблемы, см., например, [6].

В данной работе анализируется задача о захвате в резонанс при наличии двух параметров в исходных уравнениях. Разложение по одному из них создает иллюзию несущественности второго параметра. Ошибочность такого представления вскрывается на двух примерах.

**1.1. Постановка задачи.** При анализе резонансных эффектов в динамических системах одним из целевых объектов является область захвата в резонанс – множество начальных точек, из которых стартуют резонансные траектории. Для нелинейных систем это множество, как правило, не совпадает со всем фазовым пространством. Характерный пример дает система двух уравнений

$$\frac{d\rho}{dt} = \alpha \sin \varphi, \quad \frac{d\varphi}{dt} = \lambda - \rho, \quad t > 0. \quad (1)$$

В асимптотических конструкциях, из которых извлекаются эти уравнения, величины  $\rho(t)$  и  $\varphi(t)$  интерпретируются как поправка к энергии и сдвиг фазы быстрых колебаний. Резонансные решения идентифицируются с неограниченно растущей функцией  $\rho(t)$  и ограниченной фазой  $\varphi(t)$ . Такие решения бывают при переменных параметрах, например, при  $\lambda = \mu t$ , ( $\mu, \alpha = \text{const} > 0$ ), [7]. В более общем случае  $\lambda = \lambda_0 + \mu t$  константа  $\lambda_0$  исключается сдвигом по переменной  $\rho$ . Отличия между резонансным и нерезонансным решениями показаны на рис. 1.

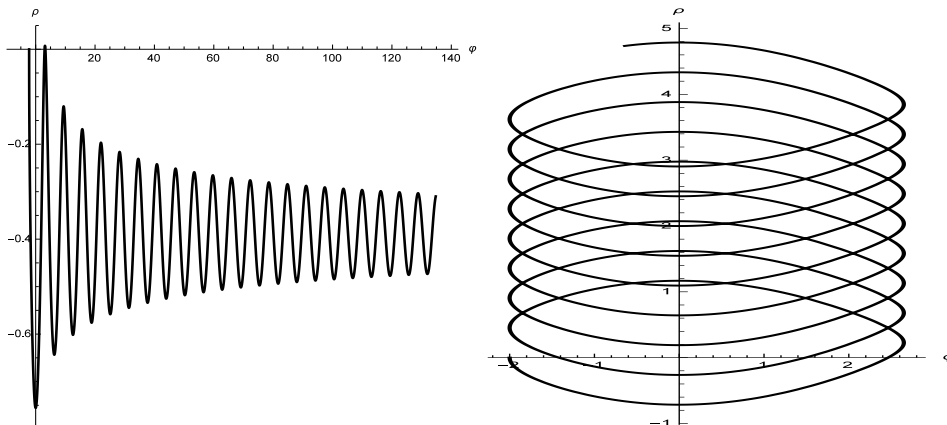


РИС. 1. Численное решение уравнений (1). Параметры  $\mu = 0.02$ ,  $\alpha = 0.2$ . Слева траектория нерезонансного решения с начальной точкой  $(-2.2, 0)$ . Справа траектория резонансного решения с начальной точкой  $(-2, 0)$

Область захвата для случая  $\lambda = \mu t$  изображена на фазовой плоскости с декартовыми координатами  $(\varphi, \rho)$ , рис. 2. Это множество описывается неравенствами (6), см. раздел 2. Из приведенных в (6) соотношений видно, что при  $\mu \rightarrow 0$  область захвата расширяется до максимально возможной, ограниченной сепаратрисами математического маятника.

А при  $\alpha \rightarrow 0$  уменьшается и вовсе исчезает при  $|\alpha| < |\mu|$ . Такой результат удается извлечь благодаря интегрируемости системы при  $\lambda = \mu t$ .

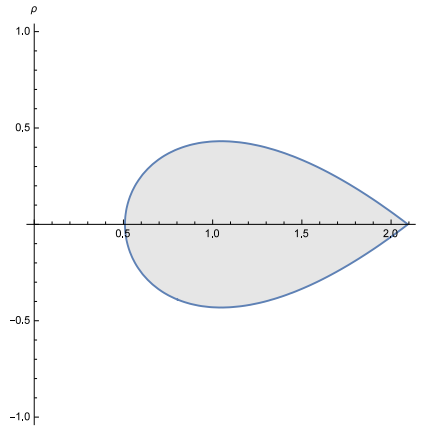


Рис. 2. Область захвата в резонанс при  $\lambda = \mu t$ ,  $\mu = \sqrt{3}/2$ ,  $\alpha = 1$

Однако, столь явное описание области захвата возможно далеко не всегда. Менее тривиальный пример дает система уравнений главного резонанса:

$$\frac{dr}{dt} = \alpha \cos \psi, \quad r \left[ \frac{d\psi}{dt} + r^2 - \lambda \right] = -\alpha \sin \psi, \quad t > 0. \quad (2)$$

Здесь переменные  $r, \psi$  интерпретируются, как амплитуда и угол в полярных координатах на плоскости. В случае  $\lambda = \lambda_0 + \mu t$ , ( $\alpha, \mu, \lambda_0 = \text{const} > 0$ ) наличие резонансных решений можно доказать, исследуя асимптотику решений на бесконечности. Для амплитуды, неограниченно растущей в главном члене, получается  $r(t) = \sqrt{\mu t} + \mathcal{O}(1)$ ,  $t \rightarrow \infty$ . Существует двухпараметрическое семейство таких решений [8]. Однако идентифицировать соответствующее множество начальных данных не удается [9]. Ситуация усугубляется наличием двухпараметрического семейства нерезонансных решений с ограниченной амплитудой. Невозможность аналитического описания области захвата иногда объясняется неинтегрируемостью системы (2), а точнее отсутствием формул связи, какие известны, например, для уравнений Пенлеве.

Заметим, что в приведенных примерах рост амплитуды обязан неавтономности уравнений. При  $\lambda = \text{const}$  каждая из систем имеет первый интеграл, и все решения ограничены в компоненте  $\rho(t)$  или  $r(t)$ . Интегрируемость "замороженной задачи" можно использовать для исследования области захвата в частном случае слабой неавтономности, когда  $\lambda = \lambda_0 + \mu t$  и множитель  $\mu$  мал. Соответствующие подходы основаны на построении асимптотики по малому параметру  $\mu \rightarrow 0$  и обычно связываются с термином "адиабатическое приближение" [5]. Однако в асимптотических конструкциях по малому параметру всегда возникает проблема равномерности по другим параметрам, входящим в уравнения. В рассмотренных системах проблемы возникают при  $|\alpha| \ll 1$ . Например, в первом примере условие, необходимое для существования области захвата, накладывает ограничение  $|\mu/\alpha| \leq 1$ , которое означает, что  $\alpha$  не должно быть слишком малым.

Приведенные выше примеры выглядят довольно просто. В них параметр  $\alpha$  можно исключить масштабным преобразованием, сведя дело к случаю  $\alpha = 1$ . Ясно, что при этом вместо  $\mu$  появится новая комбинация. Например, в первом примере появляется отношение  $\mu/\alpha$ . В таком случае адиабатическое приближение имеет смысл лишь при  $\mu/\alpha \rightarrow 0$ .

В более сложных уравнениях не удастся избавиться от дополнительных параметров столь простым способом. Таким примером может служить система двух дифференциальных уравнений

$$\gamma \frac{d\gamma}{dt} = \partial_\psi Z(\gamma, \psi), \quad \gamma \frac{d\psi}{dt} = -\partial_\gamma Z(\gamma, \psi), \quad t > 0, \quad (3)$$

определяемая функцией

$$Z(\gamma, \psi) \equiv \frac{1}{2}(\gamma - \lambda)^2 + \alpha \sqrt{\gamma^2 + 2b\gamma - d} \sin \psi. \quad (4)$$

Здесь  $b, d > 0$  – фиксированные константы. Положительный нуль подкоренного выражения  $\gamma_0 = \sqrt{b^2 + d} - b$  определяет границу области  $D = \{\gamma > \gamma_0, \psi \in \mathbb{R}^1\}$ , где рассматривается задача. Уравнения в форме (3),(4) возникают при описании движения заряженной частицы в поле плоской электромагнитной волны, бегущей в направлении однородного магнитного поля [10], § 17; см. также [11].

Если  $\lambda = \text{const}$ , то система (3) интегрируется, и на любом решении компонента  $\gamma(t)$  ограничена. В неавтономном случае с  $\lambda = \lambda_0 + \mu t$  система (3) не интегрируется. Для случая слабой неавтономности с  $|\mu| \ll 1$  обнаруживаются решения с неограниченно растущей компонентой  $\gamma(t)$ , [12]. Однако теперь  $\alpha$  не исключается масштабными преобразованиями, и остается неясным, какие проблемы возникают в адиабатическом приближении из-за этого дополнительного параметра.

Надо иметь в виду, что в известных работах, посвященных анализу системы (3), адиабатическое приближение вовсе не используется. Например, предъявленная в [13, 14] конструкция не соответствует адиабатическому приближению. На первый взгляд игнорирование адиабатического приближения для слабо неавтономной системы выглядит странно, тем более, что приводит к более сложным асимптотическим конструкциям. Впрочем, такое игнорирование наблюдается и в других похожих ситуациях [9, 15].

В данной работе выясняются соотношения на параметры исходной системы, при которых адиабатическое приближение оказывается непригодным для описания области захвата в резонанс. Непригодность обнаруживается при малом коэффициенте  $\alpha$  и проявляется в узости области захвата, которая схлопывается в линию при  $\alpha \rightarrow 0$ . Этот эффект не имеет отношения к явлению динамической бифуркации равновесия седло-центр, которое часто обсуждается в связи с задачей о захвате в резонанс, например, в [15]–[17]. Принципиальное отличие состоит в том, что схлопывание области захвата соответствует бифуркации на линию проскальзывания, состоящую из точек равновесия.

## 2. ПРИМЕР СМЕЩЕННОГО МАЯТНИКА

Чтобы отчетливо выявить роль параметра  $\alpha$  в адиабатическом приближении, полезно проанализировать задачу, для которой известно точное решение. В качестве таковой рассмотрим наиболее простую нелинейную слабо неавтономную систему (1). В ней малый параметр  $0 < \mu \ll 1$  присутствует в коэффициенте  $\lambda = \mu t$ . Дифференциальные уравнения дополняются начальными условиями

$$\rho|_{t=0} = \rho_0, \quad \varphi|_{t=0} = \varphi_0.$$

Требуется:

1. Выяснить условия, при которых существуют точные решения с неограниченно растущей компонентой  $\rho(t)$ , т.е. определить точную область захвата в резонанс.
2. Получить приближенное описание области захвата на основе адиабатического приближения с малым параметром  $\mu$ .
3. Выяснить ограничения на параметр  $\alpha$ , при которых адиабатическое приближение становится непригодным для описания области захвата.

**2.1. Точное решение.** В случае когда  $\lambda = \mu t$ , система (1) сводится к уравнению математического маятника с постоянным крутящим моментом (уравнение смещенного маятника):

$$\frac{d^2\varphi}{dt^2} = \mu - \alpha \sin \varphi, \tag{5}$$

хорошо известному в задачах о захвате в резонанс [5, 7]. Уравнение интегрируется, поскольку имеется первый интеграл

$$\dot{\varphi}^2/2 - \mu\varphi - \alpha \cos \varphi = \text{const.}$$

Информацию о возможных решениях можно усмотреть на фазовом портрете в декартовых координатах  $(\varphi, \dot{\varphi})$ .

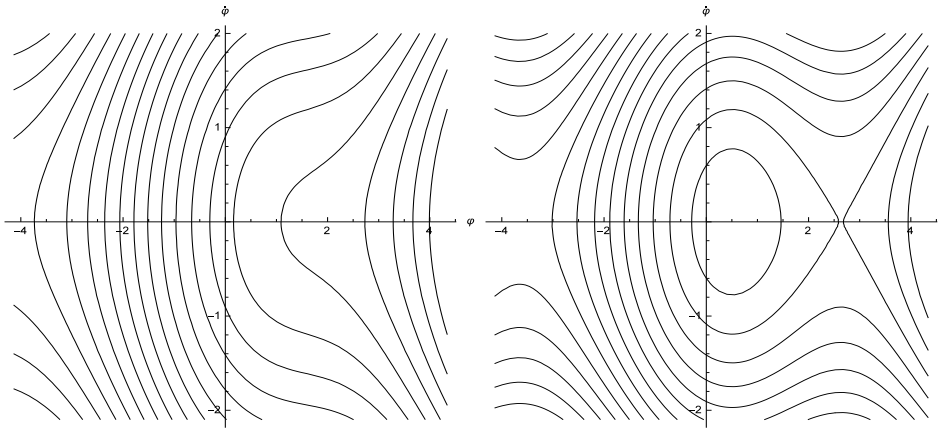


РИС. 3. Фазовый портрет уравнения маятника с крутящим моментом. Слева:  $|\mu/\alpha| > 1$ , справа:  $|\mu/\alpha| < 1$

Если  $|\mu/\alpha| > 1$ , то неподвижных в уравнении (5) точек нет, и все траектории уходят на бесконечность, рис. 3. Такие решения с неограниченно растущей компонентой  $\psi(t) = \mu t^2 [1/2 + \mathcal{O}(t^{-1})]$ ,  $t \rightarrow \infty$  соответствуют проскальзыванию фазы. Вторая компонента  $\rho(t)$  на таких решениях ограничена.

Если  $|\mu/\alpha| < 1$ , то в уравнении (5) существуют неподвижные точки типа центр и седло. Сепаратрисная петля охватывает центр и образует границу области (см. правую часть рис. 3, внутри которой фазовые траектории замкнуты и соответствуют периодическим решениям с ограниченной фазой  $\psi(t)$ ). Помимо того, существует много решений с проскальзыванием (неограниченным ростом) фазы.

Эти результаты, полученные для уравнения (5), позволяют полностью решить вопрос о резонансных решениях в системе (1). Такие решения существуют лишь при условии  $|\mu/\alpha| \leq 1$ . Их начальные значения  $(\varphi_0, \rho_0)$  либо находятся внутри сепаратрисной петли, либо лежат на сепаратрисах, входящих в седло. У таких решений компонента  $\varphi(t)$  ограничена, а  $\rho(t)$ , согласно второму уравнению из (1), растет:

$$\rho(t) = \lambda(t) - \dot{\varphi}(t) = \mu t + \mathcal{O}(1), \quad t \rightarrow \infty.$$

Аналитическое описание начальной области захвата (множества начальных данных  $(\varphi_0, \rho_0)$ ) дается формулами:

$$-\alpha \cos \varphi_c - \mu \varphi_c \leq \frac{1}{2} \rho_0^2 - \alpha \cos \varphi_0 - \mu \varphi_0 \leq -\alpha \cos \varphi_s - \mu \varphi_s. \tag{6}$$

Здесь  $\varphi_c, \varphi_s$  — координаты неподвижных точек системы типа центр и седло, определяемые уравнением  $\sin \varphi = \mu/\alpha$  с условиями  $0 < \varphi_c < \varphi_s < \pi$ . Ввиду  $2\pi$ -периодичности по  $\varphi$  рассматривается одна петля на фазовой плоскости.

При  $\mu \rightarrow 0$  предельное положение области захвата представляется ячейкой, ограниченной сепаратрисами маятника:

$$-\alpha \leq \frac{1}{2}\rho_0^2 - \alpha \cos \varphi_0 \leq \alpha. \quad (7)$$

Эту область можно использовать как аппроксимацию точной области захвата при малых  $\mu \ll 1$ . Однако такое приближение не является равномерным по  $\alpha$ . При малых  $\alpha \approx \mu \ll 1$  ячейку (7) нельзя использовать для приближенного описания области захвата из-за больших ошибок. Так, например, при  $\alpha < \mu$  резонансных решений вовсе нет, хотя ячейка (7) имеет ненулевую площадь порядка  $\mathcal{O}(\sqrt{\alpha})$ ,  $\alpha \rightarrow 0$ .

Причину неравномерности можно выявить масштабным преобразованием. При замене  $\rho = \sqrt{\alpha}\hat{\rho}$ ,  $t = \tilde{t}/\sqrt{\alpha}$  получается уравнение с коэффициентами  $\alpha = 1$ ,  $\lambda = (\mu/\alpha)\tilde{t}$ . Отсюда видно, что в качестве малого параметра следует использовать отношение  $\mu/\alpha$ , а при  $\mu \approx \alpha$  никаких малых параметров в задаче нет и упростить ее нельзя.

Мы рассмотрим ниже систему в форме (1), чтобы акцентировать внимание на роли дополнительного параметра  $\alpha$ , который в более сложных уравнениях не убирается столь простым преобразованием.

**2.2. Адиабатическое приближение.** Если параметр  $\mu$  мал, то коэффициент  $\lambda = \mu t$  меняется медленно. Идея адиабатического приближения состоит в использовании решения замороженной системы, в которой  $\lambda$  считается постоянным. Замороженная система (1) имеет первый интеграл

$$H(\rho, \varphi; \lambda) \equiv (\rho - \lambda)^2/2 - \alpha \cos \varphi = E = \text{const}$$

и сводится к уравнению маятника сдвигом по  $\rho$ . Решение выписывается:

$$\rho = \lambda + \hat{\rho}(t, E), \quad \varphi = \hat{\varphi}(t, E).$$

Здесь  $\hat{\rho}$ ,  $\hat{\varphi}$  решение уравнения маятника со значением первого интеграла  $\hat{\rho}^2/2 - \alpha \cos \hat{\varphi} = E$ . Далее используется семейство периодических решений (при энергии  $-\alpha < E < \alpha$ ). Их частота  $\omega = \omega(E)$  зависит от  $E$ . Через эти функции ниже выписывается приближенное решение для "размороженной" задачи с  $\lambda = \mu t$ .

В формальных конструкциях удобно использовать функции с фиксированным периодом:

$$R(S, E) = \hat{\rho}(S/\omega, E), \quad \Phi(S, E) = \hat{\varphi}(S/\omega, E).$$

В силу уравнений маятника эти функции удовлетворяют тождествам по переменным  $S, E$ :

$$\omega \partial_S R = \alpha \sin \Phi, \quad \omega \partial_S \Phi = -R, \quad R^2/2 - \alpha \cos \Phi = E, \quad R \partial_E R + \alpha \sin \Phi \partial_E \Phi = 1, \quad \forall S, E.$$

В исходной задаче с переменным коэффициентом  $\lambda = \lambda(t)$  делается замена переменных по формулам

$$\rho(t) = \lambda(t) + R(S(t), E(t)), \quad \varphi(t) = \Phi(S(t), E(t)).$$

Для новых искомым функций  $S(t), E(t)$  получаются уравнения

$$\frac{dS}{dt} = \omega(E) - \lambda'(t)\omega(E)\partial_E \Phi(S, E),$$

$$\frac{dE}{dt} = \lambda'(t)\omega(E)\partial_S \Phi(S, E).$$

Если коэффициент  $\lambda(t)$  медленно меняется, так что  $\lambda'(t) = \mathcal{O}(\mu)$ ,  $\mu \rightarrow 0$ , то главные члены асимптотики зависят от медленного времени:

$$E = E_0(\tau) + \mathcal{O}(\mu), \quad S = \mu^{-1}S_0(\tau) + \mathcal{O}(1), \quad \mu \rightarrow 0, \quad (\tau = \mu t).$$

Они определяются из усредненных уравнений

$$\frac{dE_0}{d\tau} = 0, \quad \frac{dS_0}{d\tau} = \omega(E_0).$$

Таким образом, в главном члене асимптотики функция  $E(t) = \text{const} + \mathcal{O}(\mu)$  остается постоянной (является адиабатическим инвариантом) на временах  $0 < \tau < \mathcal{O}(1)$ , или в быстром масштабе  $0 < t < \mathcal{O}(\mu^{-1})$ .

В адиабатическом приближении решение описывается через решение маятника формулами:

$$\rho(t) = \lambda(t) + \hat{\rho}(t, E_0) + \mathcal{O}(\mu), \quad \varphi = \hat{\varphi}(t + \mathcal{O}(1), E_0) + \mathcal{O}(\mu), \quad \mu \rightarrow 0, \quad 0 < t < \mathcal{O}(\mu^{-1}).$$

Приближенные решения при  $\lambda = \mu t$  имеют амплитуду  $\rho = \mu t + \hat{\rho}(t, E) + \mathcal{O}(\mu)$ , медленно растущую по времени  $\rho = \mu t + \mathcal{O}(1)$ ,  $t \rightarrow \infty$ . Начальные данные, при которых функции  $\hat{\rho}, \hat{\varphi}$  ограничены, соответствуют сепаратрисной ячейке маятника (7).

Из этих формул может создаться впечатление, что ячейка (7) представляет собой область захвата в резонанс. Однако из сравнения с точной областью захвата видно, что из точек вблизи границы стартуют нерезонансные решения с проскальзыванием фазы. Численное решение уравнений (1) приведено на рис. 1. Слева решение с начальной точкой  $(-2.2, 0)$  из приближенной области захвата, оно оказывается нерезонансным. Справа резонансное решение с начальной точкой  $(-2, 0)$  из точной области захвата.

Отличия между областями представлены на рис. 4 и 5. Разница между точной (6) и приближенной (7) областями захвата имеет порядок  $\mathcal{O}(\sqrt{\mu})$  при  $\mu \rightarrow 0$ , если фиксировано значение  $\alpha \neq 0$ . Если же вместе с  $\mu \rightarrow 0$  стремится к нулю параметр  $\alpha \rightarrow 0$ , то область захвата как приближенная, так и точная сжимаются и ширина их имеет порядок  $\mathcal{O}(\sqrt{\alpha})$ . Вместе с тем происходит смещение точной области захвата, так что ошибка по фазе оказывается порядка единицы, если  $\alpha = \mathcal{O}(\mu)$ .

Как указывалось выше, подходящим малым параметром является отношение  $\mu/\alpha$ , а разница между областями захвата имеет порядок  $\mathcal{O}(\sqrt{\mu/\alpha})$ . Приведем на этот счет точные результаты.

**2.3. Погрешность области захвата в адиабатическом приближении.** неподвижная седловая точка  $\varphi_s$  исходного точного уравнения (5) находится из уравнения  $\sin \varphi = \mu/\alpha$ . Ее асимптотика в главном члене равна  $\pi$  и определяет расстояние до седловой точки маятника:

$$\pi - \varphi_s = \mu/\alpha + \mathcal{O}((\mu/\alpha)^2), \quad \mu/\alpha \rightarrow 0.$$

Сепаратрисная траектория для уравнения (5) (при  $\dot{\varphi} = \rho$ ) удовлетворяет соотношению

$$\frac{1}{2}\rho^2 - \alpha \cos \varphi - \mu\varphi = -\alpha \cos \varphi_s - \mu\varphi_s = \alpha - \mu\pi + \mu\mathcal{O}((\mu/\alpha)), \quad \mu/\alpha \rightarrow 0,$$

которое определяет точную границу области захвата  $\rho = \rho_{ex}(\varphi)$ . Асимптотическое описание двух ветвей этой границы дается формулой

$$\rho_{ex} = \pm\sqrt{\alpha} \left[ \sqrt{2(\cos \varphi + 1)} + \frac{\mu}{\alpha} \frac{\varphi - \pi}{2\sqrt{2(\cos \varphi + 1)}} + \mathcal{O}((\mu/\alpha)^2) \right], \quad \mu/\alpha \rightarrow 0.$$

Уравнение границы для приближенной области захвата  $\rho = \rho_{as}(\varphi)$  соответствует сепаратрисам маятника

$$\rho_{as} = \pm\sqrt{\alpha} \sqrt{2(\cos \varphi + 1)}.$$

Разность этих функций описывает "вертикальный зазор" между границами. Для него выписывается асимптотика

$$|\rho_{as}(\varphi) - \rho_{ex}(\varphi)| = \sqrt{\alpha} \left[ \frac{\mu}{\alpha} \frac{\pi - \varphi}{2\sqrt{2(\cos \varphi + 1)}} + \mathcal{O}((\mu/\alpha)^2) \right], \quad \mu/\alpha \rightarrow 0$$

на промежутке  $\varphi_0 < \varphi < \varphi_s$ , где определена сепаратрисная петля исходной системы.

Левая граница  $\varphi = \varphi_0$  этого промежутка является точкой пересечения сепаратрисной петли с осью  $\rho = 0$ . Она определяется из уравнения

$$-\alpha \cos \varphi - \mu \varphi = -\alpha \cos \varphi_s - \mu \varphi_s = \alpha - \mu \pi + \mu \mathcal{O}((\mu/\alpha)), \quad \mu/\alpha \rightarrow 0,$$

и ее асимптотика определяет расстояние до  $-\pi$  (левой седловой точки маятника)

$$\pi + \varphi_0 = \sqrt{\mu/\alpha} 2\sqrt{\pi} + \mathcal{O}(\mu/a), \quad \mu/\alpha \rightarrow 0.$$

Таким образом, на большей части промежутка  $\varphi_0 < \varphi < \varphi_s$  расстояние между границами оценивается величиной порядка  $\mathcal{O}(\mu/\alpha)$ ,  $\mu/\alpha \rightarrow 0$ . Однако вблизи точки поворота сепаратрисы ( $\rho = 0, \varphi = \varphi_0$ ) расстояние увеличивается до  $\mathcal{O}(\sqrt{\mu/\alpha})$ , рис. 4,5. Этот результат соответствует известной оценке для области пригодности метода усреднения [18].

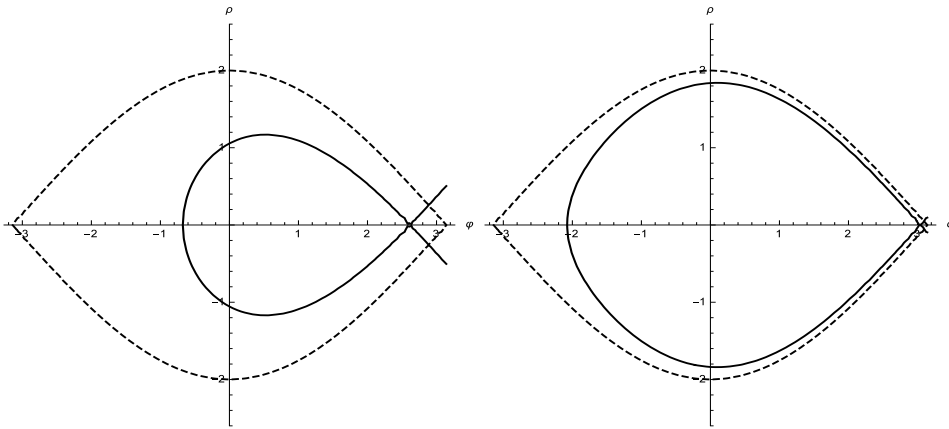


РИС. 4. Сепаратрисы маятника (пунктирные линии) ограничивают область захвата в резонанс в адиабатическом приближении. Сепаратрисная петля (сплошная линия) ограничивает точную область захвата в резонанс. При фиксированном  $\alpha = 1$  разность зависит от параметра  $\mu$ . Слева  $\mu = 0.5$ ; справа  $\mu = 0.1$

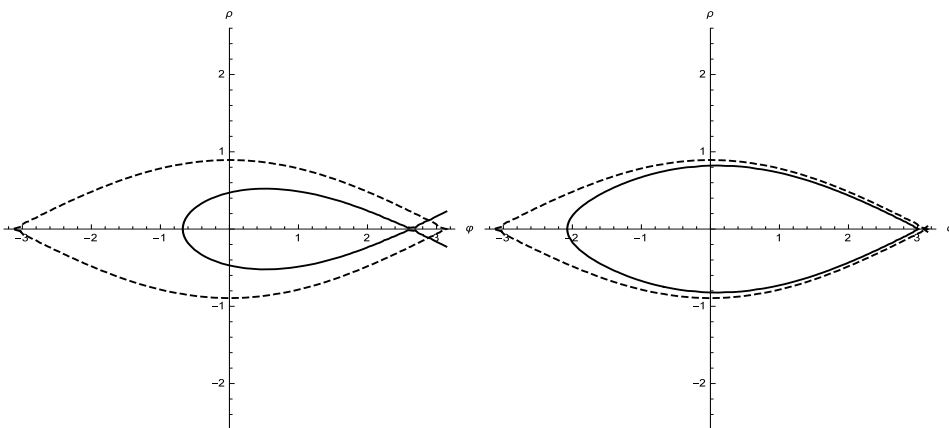


РИС. 5. Сепаратрисы маятника (пунктирные линии) ограничивают область захвата в резонанс в адиабатическом приближении. Сепаратрисная петля (сплошная линия) ограничивает точную область захвата в резонанс. При малых  $a, \mu$  разность зависит от отношения  $\mu/a$ . Слева  $\mu = 0.1, \alpha = 0.2$ ; справа  $\mu = 0.02, \alpha = 0.2$ . Этот рисунок соответствует масштабному сжатию рис. 4



Обсуждаемые асимптотические формулы имеют смысл при  $\mu/\alpha \rightarrow 0$ . Если же оба параметра имеют один порядок малости  $\mu/\alpha \approx 1$ , то рассуждения о близости областей захвата становятся неверными. Хотя обе области оказываются узкими:  $\rho^2 \leq \alpha$ , но происходит сильное изменение по фазе  $\psi$  из-за смещения точки  $\varphi_0 = -\pi + \mathcal{O}(\sqrt{\mu/\alpha})$ . Точная область захвата вовсе исчезает при  $\alpha < \mu$ .

**Вывод.** Адиабатическое приближение не годится для описания области захвата при малой амплитуде  $\alpha \approx \mu$ .

В рассмотренном примере интегрируемость исходной неавтономной системы (1) играет решающую роль для исчерпывающего анализа задачи. Это свойство позволяет описать точную область захвата и сравнить ее с результатом асимптотического приближения.

### 3. СИСТЕМА ГЛАВНОГО РЕЗОНАНСА

Еще один сравнительно простой пример дает известная система уравнений главного резонанса (2). Коэффициент  $\lambda = \lambda_0 + \mu t$  берется зависящим от медленного времени, т.е.  $0 < \mu \ll 1$  считается малым параметром. Кроме того, малым может быть положительный коэффициент  $\alpha > 0$ . Рассматривается вопрос о резонансных решениях с неограниченно растущей амплитудой  $r(t)$ . Основная цель: в задаче по определению области захвата в резонанс выяснить непригодность адиабатического приближения при малых  $\alpha$ .

Константа  $\lambda_0 = \text{const} > 0$  берется фиксированной, положительной. Без ограничения общности можно считать  $\lambda_0 = 1$ , поскольку к этому случаю уравнения сводятся перенормировкой переменных  $r = \tilde{r}\sqrt{\lambda_0}$ ,  $t = \tilde{t}/\lambda_0$  и остальных коэффициентов  $\alpha = \tilde{\alpha}\lambda_0^{3/2}$ ,  $\mu = \tilde{\mu}/\lambda_0^2$ . Далее знак волны опускается.

Задача с  $\lambda = 1 + \mu t$  позволяет немного уменьшить громоздкость формул и более отчетливо выявить роль оставшейся пары параметров  $\mu, \alpha$ . Для уравнений (2) известно существование двухпараметрического семейства резонансных решений с неограниченно растущей амплитудой  $r(t)$ , [8]. Однако множество начальных точек для таких решений (область захвата в резонанс) остается неизвестным.

**3.1. Замороженная система.** Для автономной (замороженной) системы с  $\lambda = \text{const}$  имеется первый интеграл:

$$J(r, \psi) \equiv \frac{1}{4}r^4 - \frac{1}{2}\lambda r^2 + \alpha r \sin \psi = \text{const}.$$

Структура фазового портрета (линий уровня первого интеграла) зависит от параметров  $\alpha, \lambda$ , рис. 6. Никаких резонансных решений в автономной системе не существует.

**3.2. Адиабатическое приближение.** Если параметр  $\mu$  мал, то возможно адиабатическое приближение. Оно основано на решении замороженной системы. Асимптотическая конструкция выполняется методом усреднения аналогично предыдущему примеру; детали приведены в работе [19]. В этом приближении можно идентифицировать часть области захвата. Она ограничена сепаратрисными петлями, которые берутся из фазового портрета при начальном значении  $\lambda$ , в рассматриваемом случае при  $\lambda = 1$ . Определенная таким образом область захвата (точнее, ее детерминированная часть) зависит от параметра  $\alpha$ . На рис. 7 приведены примеры для разных значений  $\alpha$ . Здесь не обсуждается захват в резонанс из множества точек, которое находится вне сепаратрисной петли и описывается в вероятностных терминах [18].

При изменении коэффициента  $\lambda$  фазовый портрет деформируется. В частности, сепаратрисные петли уходят на бесконечность с ростом  $\lambda$ . Вместе с ними смещаются замкнутые траектории, которые соответствуют периодическим решениям замороженной системы. Для размороженной системы точные траектории похожи на спирали. Они приближенно описываются с использованием решений усредненной системы. Площадь, охватываемая

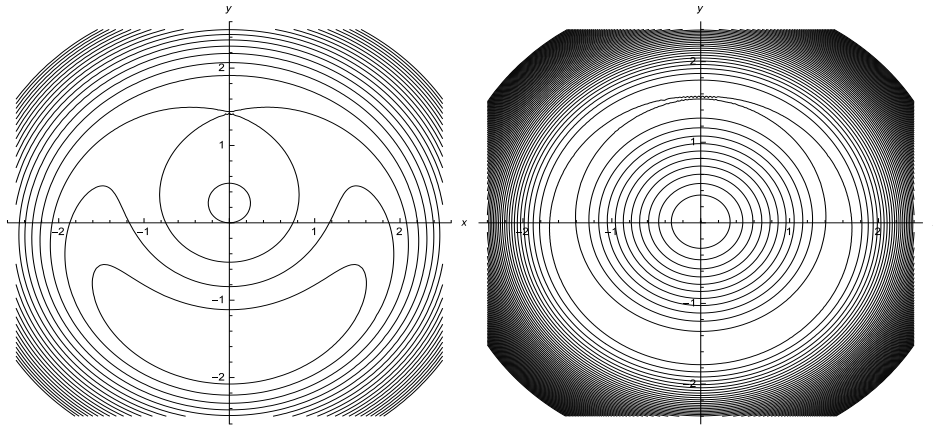


Рис. 6. Фазовый портрет замороженной системы главного резонанса зависит от параметров  $\alpha$  и  $\lambda$

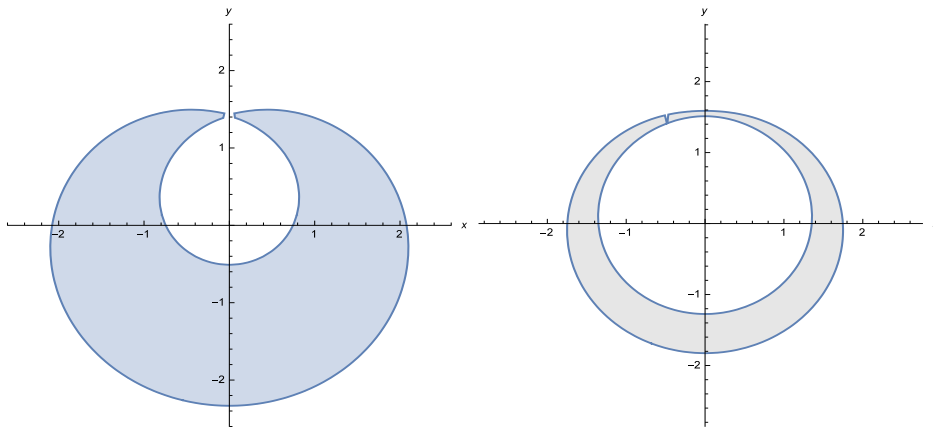


Рис. 7. Область захвата в резонанс для системы главного резонанса в адиабатическом приближении извлекается из фазового портрета при начальном значении  $\lambda$ . Эта область сужается при уменьшении параметра  $\alpha$

такой приближенной траекторией, остается постоянной в главном члене асимптотики по малому параметру  $\mu \rightarrow 0$ . В таком случае площадь есть адиабатический инвариант, а соответствующее приближение называется адиабатическим. Поскольку площадь между сепаратрисами растет с ростом  $\lambda$ , то траектории, стартующие из области захвата медленно уходят на бесконечность. Этот эффект идентифицируется с явлением захвата в резонанс.

Однако, надо помнить, что такое приближение не всегда соответствует точному решению. Решения, стартующие вблизи границы указанной приближенной области захвата, могут оказаться нерезонансными. Ширина такой приграничной полосы оценивается величиной порядка  $\mathcal{O}(\sqrt{\mu} \ln \mu)$  при  $\mu \rightarrow 0$ , [18]. Это означает, что захват в резонанс гарантируется из более узкой области, нежели та, что заключена между сепаратрисами. Более того, описание области захвата в адиабатическом приближении может оказаться вовсе неверным, если расстояние между сепаратрисами слишком мало. Как раз такой эффект наблюдается при малых значениях параметра  $\alpha$ . Дело здесь не в оценках погрешности, которые могут оказаться грубыми. Численные эксперименты показывают, что траектории, стартующие из узкой области захвата, большей частью оказываются нерезонансными. Оценки ширины приграничной области, для которой захват в резонанс не гарантируется, известны [18] в терминах адиабатического параметра  $\mu$ . Ниже даются оценки ширины области захвата через параметр  $\alpha$ . Все вместе это позволяет сформулировать ограничения

на пару параметров  $\alpha$ ,  $\mu$ , когда приграничная полоска перекрывает всю область, и захват в резонанс из точек между сепаратрисами не гарантируется.

**Теорема 1.** *Расстояние между сепаратрисами при  $\lambda = 1$  имеет асимптотику*

$$2\sqrt{\alpha}[1 + \mathcal{O}(\alpha)], \text{ при } \alpha \rightarrow 0. \quad (8)$$

Доказательство. Неподвижные точки системы находятся на лучах с углом  $\psi = \pm\pi/2$ . Их радиус-координаты находятся из уравнений  $r^3 - r \pm \alpha = 0$ . Отсюда легко выписывается асимптотика для радиус-координат седла  $r_+(\alpha)$  в верхней полуплоскости и центра  $r_-(\alpha)$  в нижней полуплоскости

$$r_{\pm}(\alpha) = 1 \mp \alpha/2 + \mathcal{O}(\alpha^2), \quad \alpha \rightarrow 0.$$

Для значений первого интеграла  $J_{\pm}$  в этих точках получается соотношение

$$J_{\pm} = J(r_{\pm}, \pm\pi/2) = \frac{1}{4}r_{\pm}[r_{\pm}^3 - 2r_{\pm} \mp 4\alpha] = \frac{1}{4}r_{\pm}[\pm 3\alpha - r_{\pm}],$$

так что для разности получается асимптотика

$$J_+ - J_- = -\frac{1}{4}[(r_+ + r_-)3\alpha + r_+^2 - r_-^2] = \alpha + \mathcal{O}(\alpha^2).$$

Уравнение для сепаратрис  $J(r, \psi) = J_+$  рассмотрим на луче  $\psi = -\pi/2$  и воспользуемся разложением Тейлора в неподвижной точке  $r_-$ :

$$J_- + \frac{1}{2}J_{rr}(r_-, -\pi/2)(r - r_-)^2 + \mathcal{O}(r - r_-)^3 = J_+.$$

Поскольку

$$J_{rr}(r_-, -\pi/2) = 3r_-^2 - 1 = 2 + \mathcal{O}(\alpha)$$

То получаем

$$(r - r_-)^2[1 + \mathcal{O}(\alpha)] + \mathcal{O}(r - r_-)^3 = J_+ - J_- = \alpha + \mathcal{O}(\alpha^2).$$

Следовательно расстояние от центра до сепаратрисы:  $|r - r_-| = \sqrt{\alpha}[1 + \mathcal{O}(\alpha)]$ . Отсюда вытекает асимптотическая оценка расстояния между сепаратрисами.

Похожим образом оценивается расстояние на других лучах. Впрочем, монотонность по углу расстояния между сепаратрисами видна из фазового портрета. Теорема доказана.

**Следствие 1.** *Если параметр  $\alpha$  не слишком мал:  $\alpha \gg \mathcal{O}(\mu|\ln \mu|)$ ,  $\mu \rightarrow 0$ , то для системы (2) применим метод адиабатического приближения по малому параметру  $\mu \rightarrow 0$ . Границы области захвата приближенно описываются сепаратрисами замороженной системы при  $t = 0$ , [18].*

**Следствие 2.** *Если параметр  $\alpha$  слишком мал:  $\alpha \leq \mathcal{O}(\mu)$ ,  $\mu \rightarrow 0$ , то метод адиабатического приближения по малому параметру  $\mu \rightarrow 0$  не применим, и область захвата в резонанс не определяется сепаратрисами замороженной системы.*

Доказательство следствий следует из результатов об оценке ширины приграничной области величиной  $\mathcal{O}(\mu|\ln \mu|)$  в комбинации с оценкой (8).

**3.3. Приближение смещенного маятника.** Из оценки (8) следует, что область захвата сужается при уменьшении  $\alpha$ . Этот эффект в точности соответствует тому, что был продемонстрирован в предыдущем примере. В той, более простой задаче известно положение точной области захвата. Ошибка адиабатического приближения выявляется из сравнения. Эта ошибка оказывается большой, если параметр  $\alpha$  мал, например, при  $\alpha = \mathcal{O}(\mu)$ . Более того, выяснено, что при  $\alpha = \mathcal{O}(\mu)$  путем масштабного преобразования исходная

система редуцируется к уравнениям (1) с  $\alpha = 1$ ,  $\mu = \mathcal{O}(1)$  (или, что то же, к смещенному маятнику (5)) без каких либо малых параметров. Точная область захвата ограничена сепаратрисной петлей такой системы.

Рассматриваемая здесь система (2) более сложная, и исключить параметры масштабным преобразованием не возможно. Однако, такую операцию можно проделать в асимптотическом приближении. На этом пути в главном члене асимптотики обнаруживается тот же смещенный маятник (5), который в случае  $\alpha = \mathcal{O}(\mu)$  не содержит малых параметров. Сепаратрисная петля для такой системы определяет положение области захвата в асимптотическом приближении при  $\alpha \approx \mu \rightarrow 0$ .

**Теорема 2.** *Если малые параметры  $\alpha, \mu$  находятся в отношении:  $\mathcal{O}(\mu) \leq \alpha \ll 1$ , то область захвата будет узкой порядка  $\mathcal{O}(\sqrt{\alpha})$ . Ее граница приближенно описывается сепаратрисной петлей смещенного маятника, который соответствует системе*

$$\frac{d\rho}{d\tau} = \sin \psi, \quad \frac{d\psi}{d\tau} = \nu\tau - \rho, \quad \tau > 0 \quad (9)$$

с коэффициентом  $\nu = \mu/2\alpha$  и  $\tau = \sqrt{2\alpha}t$ .

Доказательство. Если параметр  $\alpha \ll 1$  мал, то сепаратрисы замороженной в начальной момент системы (2) оказываются вблизи окружности  $r = 1$ . Поэтому естественной выглядит попытка уточнить положение узкой (при малых  $\alpha$ ) области захвата вблизи этой линии. С этой целью делается сдвиг и масштабное преобразование для амплитуды  $r(t) = 1 + \sqrt{\alpha/2}\rho(\tau)$ ,  $\psi = \varphi - \pi/2$ ,  $\tau = \sqrt{2\alpha}t$ . После такой замены получается система

$$\frac{d\rho}{d\tau} = \sin \psi, \quad \frac{d\varphi}{d\tau} + \rho - \nu\tau = \sqrt{\alpha} \left[ \frac{1}{\sqrt{2} + \sqrt{\alpha}\rho} \cos \psi - \frac{1}{2\sqrt{2}}\rho^2 \right], \quad \tau > 0.$$

с коэффициентом  $\nu = \mu/2\alpha$ . После этого ставится задача о поиски решений с неограниченно растущей функцией  $\rho(\tau)$ . Задача решается в асимптотическом приближении по параметру  $\alpha \rightarrow 0$  при условии, что второй параметр  $\nu \leq \text{const} < \infty$  не велик. Для главных членов асимптотики

$$\rho(\tau) = \rho_0(\tau) + \mathcal{O}(\sqrt{\alpha}), \quad \varphi(\tau) = \varphi_0(\tau) + \mathcal{O}(\sqrt{\alpha})$$

получается система (9) которая редуцируется к смещенному маятнику (5). Сепаратрисная петля на фазовом портрете этого уравнения существует при  $|\nu| < 1$  и описывает границу области захвата в этом приближении. Очевидно при  $|\alpha| < \mu/2$  такой области не существует. Теорема доказана.

Если параметр  $\alpha$  не слишком мал  $|\alpha| \gg \mu$ , то в уравнении смещенного маятника параметр  $\nu$  оказывается малым. Здесь снова возможно адиабатическое приближение при  $\nu \rightarrow 0$ . Получаемая в этом приближении область захвата совпадает с ячейкой, ограниченной сепаратрисами маятника. Учитывая условия перехода к смещенному маятнику, получаем ограничения  $\mu \ll |\alpha| \ll 1$ .

Таким образом, плоскость параметров  $\alpha, \mu$  в окрестности нуля разбивается на несколько секторов. Область захвата в каждом из них описывается разными формулами. Эти формулы асимптотически совпадают в областях перекрытия секторов. Более того, в области перекрытия можно выписать отдельную формулу, получаемую в адиабатическом приближении для системы (9). Эти результаты соответствуют идеям о согласовании асимптотических разложений [3], которые обычно применяются к разложениям в разных областях независимых переменных.

**3.4. Приближение главного резонанса.** В исходной системе (2) с  $\lambda = \lambda_0 + \mu t$  содержится еще один параметр  $\lambda_0$ . До сих пор он считался фиксированной положительной константой. Однако, если этот параметр мал, либо равен нулю, то приведенный выше анализ не годится. В частности, адиабатическое приближение не определяет область захвата,

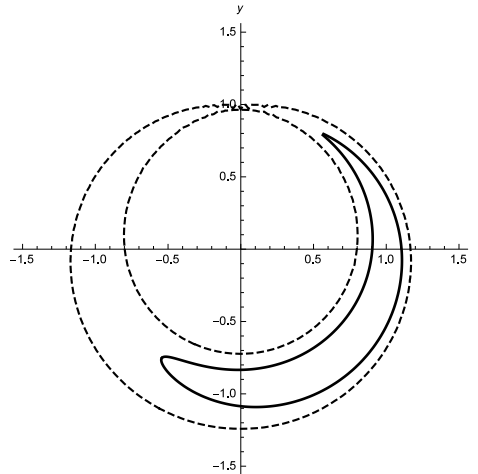


Рис. 8. Отличия в определении области захвата между: адиабатическим приближением (пунктирная линия) и приближением смещенного маятника (сплошная линия) при малых  $\alpha \approx \mu \ll 1$ . Результат аналогичен рис. 5

хотя бы уже потому что при  $\lambda = 0$  фазовый портрет системы не содержит сепаратрис. В этом случае удобно сделать перенормировку переменных, исключив один из параметров:  $t = \alpha^{-2/3}\tau$ ,  $r = \alpha^{1/3}R(\tau)$ . В результате для новых функций  $R, \psi(\tau)$  получается система

$$\frac{dR}{dt} = \cos \psi, \quad R \left[ \frac{d\psi}{dt} + R^2 - \Lambda \right] = -\sin \psi, \quad t > 0 \quad (10)$$

с коэффициентом  $\Lambda = \lambda_0 \alpha^{-2/3} + \mu \alpha^{-4/3} \tau$ .

Если в этом коэффициенте параметр  $\mu \alpha^{-4/3} \ll 1$  мал, а  $\lambda_0 \alpha^{-2/3} \leq \mathcal{O}(1)$  не велико, то возможно адиабатическое приближение. Область захвата приближенно определяется величиной  $\lambda_0 \alpha^{-2/3}$ . Это приближение может оказаться не годным, если  $\lambda_0$  слишком мало.

Если параметр  $\mu \alpha^{-4/3} = \mathcal{O}(1)$  не мал, а  $\lambda_0 \alpha^{-2/3} \leq \mathcal{O}(1)$  не велико, то адиабатическое приближение не возможно. В этом случае полная система уравнений главного резонанса (10) представляет собой модельную задачу, которая не допускает дальнейшего упрощения. Область захвата определяется в численных экспериментах.

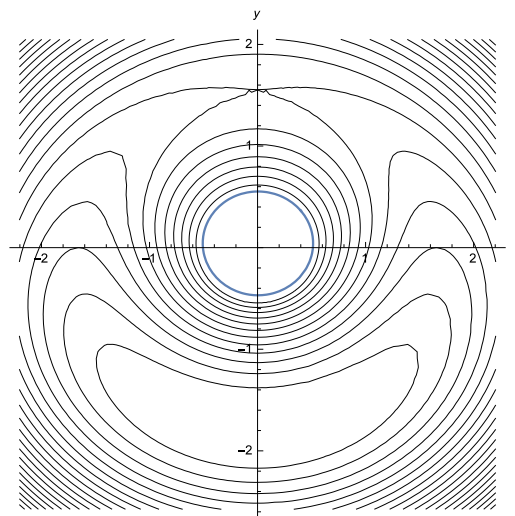


Рис. 9. Фазовый портрет замороженной системы (3),(4)

#### 4. АСИМПТОТИЧЕСКОЕ ПРИБЛИЖЕНИЕ ДЛЯ ОБЩЕЙ СИСТЕМЫ

Похожая ситуация имеет место для более общих уравнений (3),(4). Неавтономная система здесь также не интегрируется, и никакой информации о точной области захвата в резонанс нет.

Анализ задачи в адиабатическом приближении основан на первом интеграле для замороженной системы.

$$Z(\gamma, \psi) \equiv \frac{1}{2}(\gamma - \lambda)^2 + \alpha\sqrt{\gamma^2 + 2b\gamma - d} \sin \psi = \text{const.}$$

Фазовый портрет похож на систему главного резонанса. Фазовые траектории за исключением пары сепаратрис представляют собой замкнутые кривые на плоскости с полярными координатами  $\psi, \gamma$ . Область захвата в резонанс находится между сепаратрисными петлями. Эта область сужается при  $\alpha \rightarrow 0$ . Детальное исследование узкой области захвата изложено в [22].

Отметим, что уточнение положения узкой области захвата приводит либо к задаче для смещенного маятника, либо к системе главного резонанса [22]. Такие результаты соответствуют известным работам физиков в [13, 14]. Они объясняют причину, по которой адиабатическое приближение игнорировалось в этих и в других работах, например, [20, 21].

#### 5. ЗАКЛЮЧЕНИЕ

Задачи о захвате в резонанс можно исследовать приближенно методом усреднения, если исходные дифференциальные уравнения содержат медленно меняющиеся коэффициенты. В общей ситуации это приближение не будет равномерным относительно других параметров, входящих в уравнения. Условия применимости используемого приближения выявляются при анализе роли дополнительных параметров. Критическими оказываются значения параметров, при которых приближенная область захвата схлопывается в линию. Вблизи таких значений используется другая форма метода усреднения, которая в главном члене асимптотики приводит либо к уравнению смещенного маятника, либо к системе уравнений главного резонанса. Вопрос об оценке точности описания области захвата в таком подходе остается открытым.

#### СПИСОК ЛИТЕРАТУРЫ

1. Бабич В.М., Булдырев В.С. *Искусство асимптотики* // Вестник ЛГУ. 1977. №13. С. 5–12.
2. Андрианов И.В., Баранцев Р.Г., Маневич Л.И. *Асимптотическая математика и синергетика*. М.: УРСС, 2004.
3. Ильин А.М. *Согласование асимптотических разложений решений краевых задач*. М.: Наука. 1989. 336 с.
4. Боголюбов Н.Н., Митропольский Ю.А. *Асимптотические методы в теории нелинейных колебаний*, Наука, М., 1974.
5. Арнольд В.И., Козлов В.В., Нейштадт А.И. *Математические аспекты классической и небесной механики*. М.: ВИНТИ, 1985.
6. Брюнинг Й., Доброхотов С. Ю., Потеряхин М. А. *Об усреднении для гамильтоновых систем с одной быстрой фазой и малыми амплитудами* // Матем. заметки. 2001. Т. 70, вып. 5. С. 660–669.
7. Чириков Б.В. *Прохождение нелинейной колебательной системы через резонанс* // Доклады АН СССР. 1959. Т.125, № 5. С. 1015–1018.
8. Калякин Л.А. *Асимптотики решений уравнений главного резонанса* // Теоретическая и математическая физика. 2003. Т. 137, № 1. С.142–152.
9. Калякин Л.А. *Асимптотический анализ моделей авторезонанса* // Успехи мат. наук. 2008. Т. 63, № 5. С. 3–72.
10. Ландау Л.Д., Лифшиц Е.М. *Терия поля*. М.: Наука. 1973.

11. Милантьев В.П. *Циклотронный авторезонанс (к 50-летию открытия явления)* // Успехи физ. наук. 2013. Т.180, №8. С. 875–884.
12. Калякин Л.А. *Асимптотический анализ модели циклотронного гиромагнитного авторезонанса* // Вестник ЧелГУ, Физика. 2015 Вып. 21. С. 68–74.
13. K.S. Golovanivsky *Autoresonant Acceleration of Electrons at Nonlinear ECR in a Magnetic Field Which is Smoothly Growing in Time* // Physica Scripta. V. 22. 1980. P. 126–133.
14. K.S. Golovanivsky *The Gyromagnetic Autoresonance* // IEEE Transactions on plasma science. V. PS-1 1, № 1. 1983. P. 28–35.
15. A.P. Itin, A.I. Neishtadt, A.A. Vasiliev *Capture into resonance in dynamics of a charged particle in magnetic field and electrostatic wave* // Physica D. 2000 V. 141, № 4. P. 281–296.
16. R. Haberman, E.K. Ho *Boundary of the basin of attraction for weakly damped primary resonance* // J.Appl. Mech. 1990. V. 62, №3. P. 941–946.
17. O.M. Kiselev and S.G. Glebov *An asymptotic solution slowly crossing the separatrix near a saddle–centre bifurcation point* // Nonlinearity. 2003. V.16, P. 327–362.
18. Нейштадт А.И. *Прохождение через сепаратрису в резонансной задаче с медленно меняющимся параметром* // Прикладная математика и механика. 1975. Т. 39, № 4. С. 621–632.
19. L.A. Kalyakin *Asymptotic Analysis of an Autoresonance Model* // Russian Journal of Mathematical Physics. 2002. Vol. 9, №. 1. P. 84–95.
20. T. Armon and L. Friedland *Chirped resonance dynamics in phase space* // J. Plasma Phys. 2016. V. 82, 705820501.
21. T. Armon and L. Friedland *Capture into resonance and phase-space dynamics in an optical centrifuge* // Phys. Rev. A. 2016. V. 93. 043406.
22. Калякин Л.А. *Асимптотический анализ модели гиромагнитного авторезонанса* // ЖВММФ. 2017 Т. 57, №2. С. 285–301.

Леонид Анатольевич Калякин  
Институт математики с ВЦ УНЦ РАН  
ул.Чернышевского, 112,  
450077, г. Уфа, Россия  
E-mail: klenru@mail.ru